

Contents

Contents	1
0.1 算法部分	1
0.1.1 反射率方程	1
0.1.2 使用LTC方法近似BRDF积分	2
0.1.3 使用LTC方法来计算单点光源光照	4
0.1.4 使用LTC方法来计算多个点光源光照	5
0.1.5 实验结果	6

0.1 算法部分

本文算法要实现的目标是：用LTC的方式来近似实现多点光源下基于物理的光照效果，同时渲染效率要比常用的BRDF方式更高。

0.1.1 反射率方程

为了实现更真实的渲染效果，如今业界广泛使用如下的反射率方程来实现基于物理的光照渲染：

$$L_o(p, \omega_o) = \int_{\Omega} f_r(p, \omega_i, \omega_o) L_i(p, \omega_i) n \cdot \omega_i d\omega_i \quad (1)$$

其中 p 着色点， n 是表面法线， ω_o 为观察方向， ω_i 为光线入射方向， L_i 是来自 ω_i 方向上的辐射亮度， L_o 是着色点在上半球空间接受到的辐射度， f_r 是双向反射分布函数（BRDF），描述了反射方向上的辐射照度与入射方向上的辐射照度的比率。当前主流的游戏引擎（如Unity、Unreal等）都在使用基于微面元理论的BRDF模型：

$$f_r(\omega_i, \omega_o) = f_d + \frac{DFG}{4(\omega_o \cdot n)(\omega_i \cdot n)} \quad (2)$$

其中 f_d 是漫反射系数， D 是描述微观面元法线分布的函数， F 是描述表面菲涅尔反射的函数， G 是描述微观面元之间几何遮挡比率的函数。

所以我们通常使用的反射率方程是：

$$L_o(p, \omega_o) = \int_{\Omega} (f_d + \frac{DFG}{4(\omega_o \cdot n)(\omega_i \cdot n)}) L_i(p, \omega_i) n \cdot \omega_i d\omega_i \quad (3)$$

本文采用的D、F、G函数与Unity引擎内部使用的函数一致。

对于法线分布函数D本文采用GGX分布[?]

$$D = \frac{\alpha^2 \chi^+(\theta_h)}{\pi \cos^4 \theta_h (\alpha^2 + \tan^2 \theta_h)^2} \quad (4)$$

其中 h 表示中间向量， α 表示表面粗糙度， θ_h 是法向量 n 与中间向量 h 的夹角，并且：

$$\chi^+(\theta_h) = \begin{cases} 1, & \theta_h > 0 \\ 0, & \theta_h < 0 \end{cases} \quad (5)$$

对于菲涅尔函数本文采用渲染领域中常用的Schlick近似模型[?]：

$$F = F_0 + (1 - F_0)(1 - (h \cdot \omega_o)^5) \quad (6)$$

其中 F_0 为入射光垂直表面时的菲涅尔反射率的值，即表面的基础反射率。

对于几何遮挡函数 G ，本文采用了近来越来越多的引擎开始使用的更精确的一种遮挡函数[?]：

$$G = \frac{\chi^+(\omega_o \cdot h)\chi^+(\omega_i \cdot h)}{1 + \Lambda(\omega_o) + \Lambda(\omega_i)} \quad (7)$$

其中：

$$\Lambda(m) = \frac{-1 + \sqrt{1 + \alpha^2 \tan^2(\theta_m)}}{2} \quad (8)$$

其中 θ_m 是向量 m 和法线 n 之间的夹角。

对于式-2中的漫反射项 f_d ，本文采用Disney最新使用的漫反射模型[?]：

$$f_d = \frac{c}{\pi}(1 + (F_D - 1)(1 - \cos\theta_l)^5)(1 + (F_D - 1)(1 - \cos\theta_v)^5) \quad (9)$$

其中 θ_l 是 ω_i 和法线 n 的夹角， θ_v 是 ω_o 和 n 的夹角，并且：

$$F_D = 0.5 + 2\alpha \cos^2 \theta_d \quad (10)$$

其中 θ_d 是入射向量 ω_i 和中间向量 h 的夹角。

可以初步看到，渲染时因为要按照上述公式去分别计算D、F、G项以及 f_d ，再得到最终的辐射度 L_o ，所以即使是在一个单点光源的环境下，着色点渲染时所需要的计算量也很大。

0.1.2 使用LTC方法近似BRDF积分

Eric Heitz等人在解决区域光源光照时提出了一种名为线性转换余弦分布（Linear Transform cosin）的数学方法[?]，来近似计算BRDF积分。如图1所示：图中，上面是在某种粗糙度 α 以及观察向量 ω_o 下的BRDF分布，分布函数如下：

$$B_s(\omega_i) = \frac{DFG}{4(\omega_o \cdot n)(\omega_i \cdot n)} n \cdot \omega_i \quad (11)$$

下面是一个截断余弦（Clamped Cosine）分布，它的分布函数如下：

$$C(\omega_i = (x, y, z)) = \frac{1}{\pi} \max(0, z) \quad (12)$$

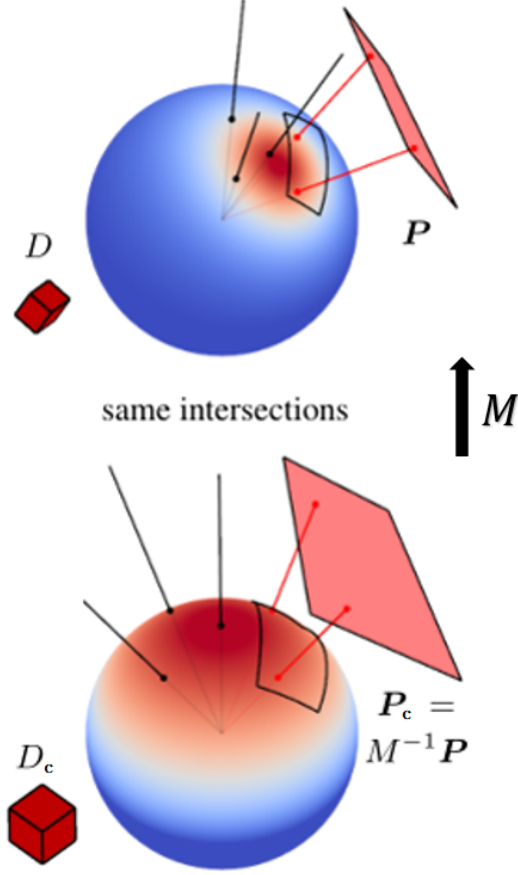


Figure 1: 使用余弦分布乘上矩阵M来近似BRDF分布

其中 ω_i 是单位向量。

作者提出可以在下面的余弦分布上乘以一个3x3的线性变换矩阵 M_s ，来近似得到上面的BRDF分布。该矩阵 M_s 的形式如下：

$$M_s = \begin{bmatrix} a & 0 & b \\ 0 & c & 0 \\ d & 0 & 1 \end{bmatrix} \quad (13)$$

以二维纹理的纹理坐标 u 作为观察角度 θ_o ，以纹理坐标 v 作为粗糙度 α ，拟合出不同的矩阵 M_s 。可以将预计算好的 M_s 的逆矩阵存入二维纹理坐标 (u,v) 所对应的纹素中。作者提出在BRDF分布上对一个多边形光源区域 P 的积分，等效于在余弦分布上对另一个多边形区域 P_c 的积分（多边形 P_c 是对多边形 P 乘上

矩阵 M_s 的逆矩阵之后，得到的新的多边形)：

$$\int_P B_s(\omega) d\omega = \int_{P_c} C(\omega_s) d\omega_s \quad (14)$$

其中 ω 是在BRDF分布下的光线入射向量，而 ω_s 是 ω 乘上矩阵 M_s^{-1} 作线性变换之后的新的入射向量。

0.1.3 使用LTC方法来计算单点光源光照

将上式-14中的 ω 看作单位球上的无限小的面积，那么上式中对 ω 的积分实际上就是在对一个点光源进行光照计算。那么一个着色点接受到来自 ω 方向上的点光源的镜面辐射度为：

$$L_s = B_s(\omega) = C(\omega_s) \quad (15)$$

其中 ω_s 是对 ω 乘上线性余弦变换矩阵 M_s 的逆矩阵之后得到的新的向量，即：

$$\omega_s = M_s^{-1}\omega \quad (16)$$

但是实际上在式14中无限小的 $d\omega$ 和 $d\omega_s$ 的面积是不一样的（因为 $d\omega_s$ 是 $d\omega$ 作线性变换得到的，线性变换的过程中会改变面积大小）。所以式15是不成立的，还需要乘上两个 ω 的面积比例：

$$L_s = B_s(\omega) = C(\omega_s) \frac{\partial \omega_s}{\partial \omega} \quad (17)$$

作者在文中已经给出了 $\frac{\partial \omega_s}{\partial \omega}$ 的推导结果，即：

$$B_s(\omega) = C(\omega_s) \frac{\partial \omega_s}{\partial \omega} = C(\omega_s) \frac{|M_s^{-1}|}{||M_s^{-1}\omega||^3} \quad (18)$$

同样的，本文对式9中的Disney漫反射也使用LTC方法拟合出另一个线性余弦变换矩阵 M_d 。那么一个着色点接受到来自 ω 方向上的点光源的漫反射辐射度为：

$$L_d = B_d(\omega) = C(\omega_d) \frac{|M_d^{-1}|}{||M_d^{-1}\omega||^3} \quad (19)$$

其中：

$$B_d(\omega) = f_d n \cdot \omega_i \quad (20)$$

$$\omega_d = M_d^{-1}\omega \quad (21)$$

所以，综合式2、式11、式18、式19以及式20，着色点接受到的来自 ω 方向上的点光源的辐射度为：

$$L_o = f_r L_i n \cdot \omega = (B_s(\omega) + B_d(\omega))L_i = (C(\omega_s) \frac{|M_s^{-1}|}{||M_s^{-1}\omega||^3} + C(\omega_d) \frac{|M_d^{-1}|}{||M_d^{-1}\omega||^3})L_i \quad (22)$$

由式12、式16、式21可以得到：

$$C(\omega_s) = \frac{(M_s^{-1}\omega) \cdot z}{||M_s^{-1}\omega||} \quad (23)$$

$$C(\omega_d) = \frac{(M_d^{-1}\omega) \cdot z}{||M_d^{-1}\omega||} \quad (24)$$

代入式22可得：

$$L_o = \frac{\omega_s \cdot z}{(\omega_s \cdot \omega_s)^2} |M_s^{-1}| L_i + \frac{\omega_d \cdot z}{(\omega_d \cdot \omega_d)^2} |M_d^{-1}| L_i \quad (25)$$

可以看到，借助LTC方法来计算点光源的辐照度，只需要计算几次向量乘法、平方以及矩阵的行列式就可以了，计算量相当简单（不要求矩阵的逆，因为本文在预计算的二维纹理中存储的就是 M^{-1} ，而不是 M ）。

0.1.4 使用LTC方法来计算多个点光源光照

由式25可得，着色点在多个点光源光照下的辐射照度为：

$$L_o = \sum_{\omega_i} \left(\frac{\omega_s \cdot z}{(\omega_s \cdot \omega_s)^2} |M_s^{-1}| L_i + \frac{\omega_d \cdot z}{(\omega_d \cdot \omega_d)^2} |M_d^{-1}| L_i \right) \quad (26)$$

其中 $\omega_s = M_s^{-1}\omega_i$ 、 $\omega_d = M_d^{-1}\omega_i$ 。因为对同一个着色点来说，对任何点光源 M_s^{-1} 和 M_d^{-1} 是定值，所以：

$$L_o = |M_s^{-1}| \sum_{\omega_i} \frac{\omega_s \cdot z}{(\omega_s \cdot \omega_s)^2} L_i + |M_d^{-1}| \sum_{\omega_i} \frac{\omega_d \cdot z}{(\omega_d \cdot \omega_d)^2} L_i \quad (27)$$

而使用BRDF方式来计算多点光源光照的公式如下：

$$L_o = \sum_{\omega_i} \left(f_d + \frac{DFG}{4(\omega_o \cdot n)(\omega_i \cdot n)} \right) L_i n \cdot \omega_i \quad (28)$$

其中 D 、 F 、 G 、 f_d 需要分别按照式4、6、7、9来计算。

从式27、28可以看出，本文用LTC的方式来实现多点光源光照，计算量比使用BRDF方式要少很多，从而达到本文要实现的目标：以更快的速率实现多点光源下基于物理的光照效果。除此之外，使用本文LTC渲染点光源的方法，不会因为BRDF公式（ DFG 以及 f_d 项）的复杂性而增加渲染时间，也就是说，即使未来BRDF因为要达到更加物理真实的效果而变得更加复杂，使用本文的方法是会降低渲染帧率的。本文算法对于点光源在基于物理的渲染上具有很好的可扩展性。甚至可以让复杂的点光源PBR光照在移动平台上也能快速实现出较好的效果。

0.1.5 实验结果

本文的实验环境是：Intel(R)Xeon(R)CPU E3-1230 V2@3.30GHz，16GB内存，NVIDIA GeForce GTX 1060 6GB显卡。

在有100个点光源的场景中，使用BRDF方式以及本文的算法在场景粗糙度 $\alpha = 0.27$ 时所实现的渲染结果如图2所示：

当渲染不同数量的光源时，使用BRDF方式以及本文算法的帧率和提升的渲染时间如表1所示：

	100个光源	500个光源	1000个光源	5000个光源
BRDF帧率(fps)	118	23	12	2
本文算法帧率(fps)	285	56	28	5
本文算法时间提升(ms)	4.97	25.62	47.62	255.49

Table 1: 本文算法以及BRDF的渲染效率



(a) 使用BRDF方式渲染的结果



(b) 使用本文算法渲染的结果

Figure 2: 使用BRDF和本文算法结果的对比